



パートA. 惑星の性質

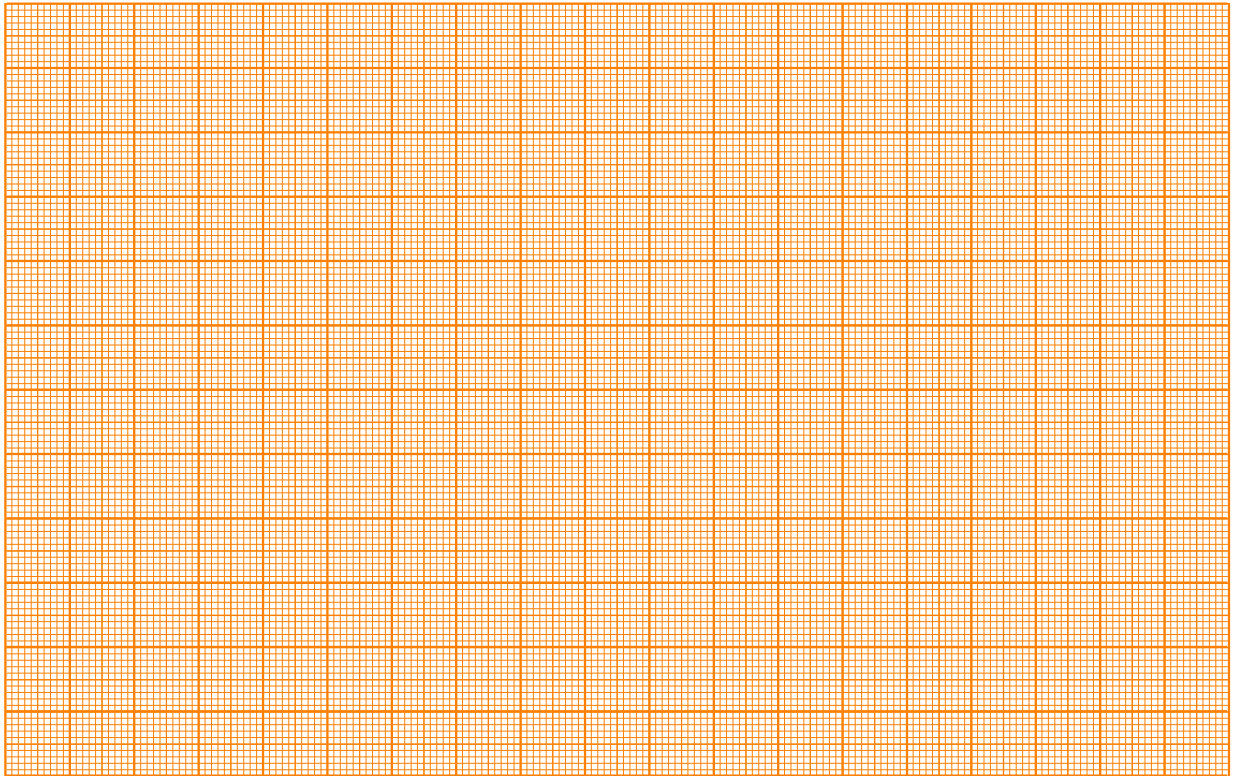
A.1 (2.0 pt)

$g =$

$\Delta g =$



A.1 (cont.)



A.2 (0.5 pt)

$R =$

A.3 (0.5 pt) $M =$ $\Delta M =$

M の精度に最も大きな影響を与える効果にチェックを入れなさい。

ボールに作用する空気抵抗。	<input type="checkbox"/>
ボールに働くコリオリ力 $F_C = 2m\vec{v} \times \vec{\omega}$ 。ここで $m, \vec{v}, \vec{\omega}$ は、それぞれボールの質量と速度、惑星の角速度である。	<input type="checkbox"/>
一般相対性理論による重力の高次補正。その相対的な大きさは、惑星の重力によって光子が偏向される角度のオーダーになる。	<input type="checkbox"/>
ボールに作用する遠心力。	<input type="checkbox"/>
落下の過程で変化する地面までの距離による g の変動。	<input type="checkbox"/>



パート B. 大気の性質

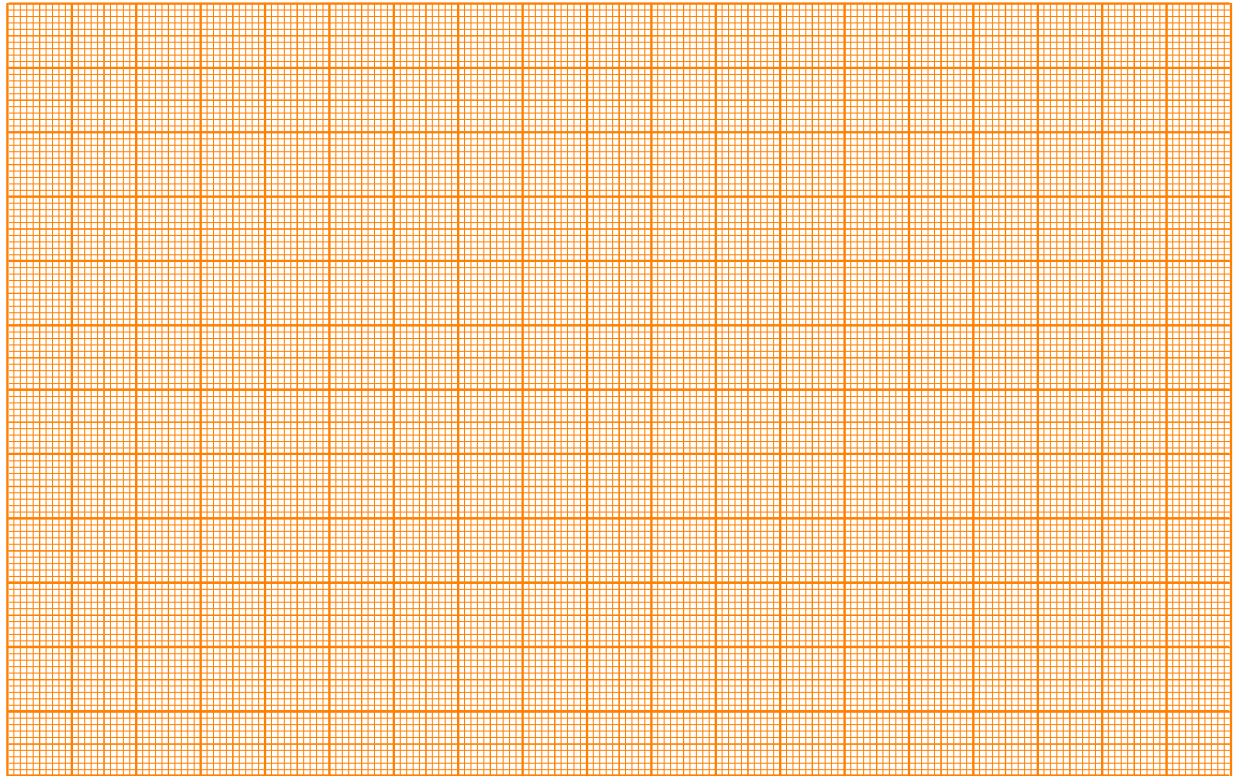
B.1 (2.0 pt)

$u =$

$\Delta u =$



B.1 (cont.)

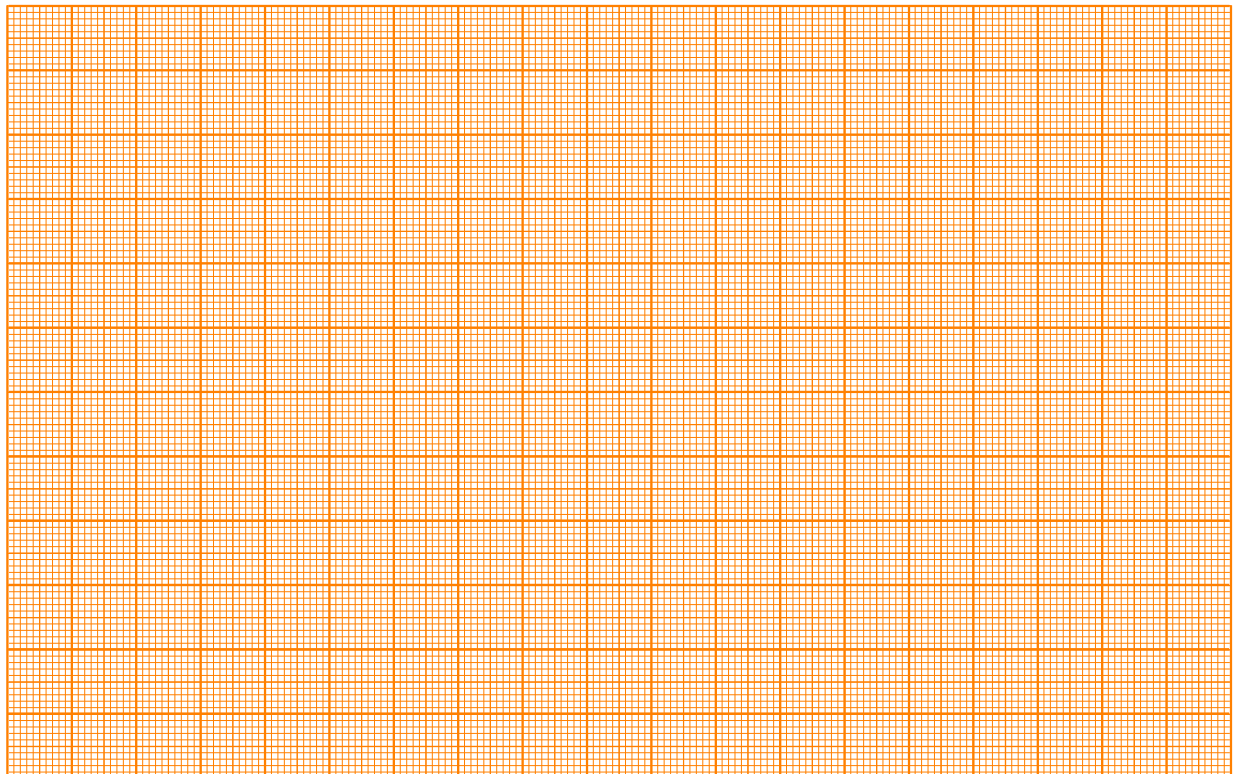




B.2 (1.0 pt)

$$\rho_{a0} =$$

$$\Delta\rho_{a0} =$$



Experiment



A1-7

Japanese (Japan)

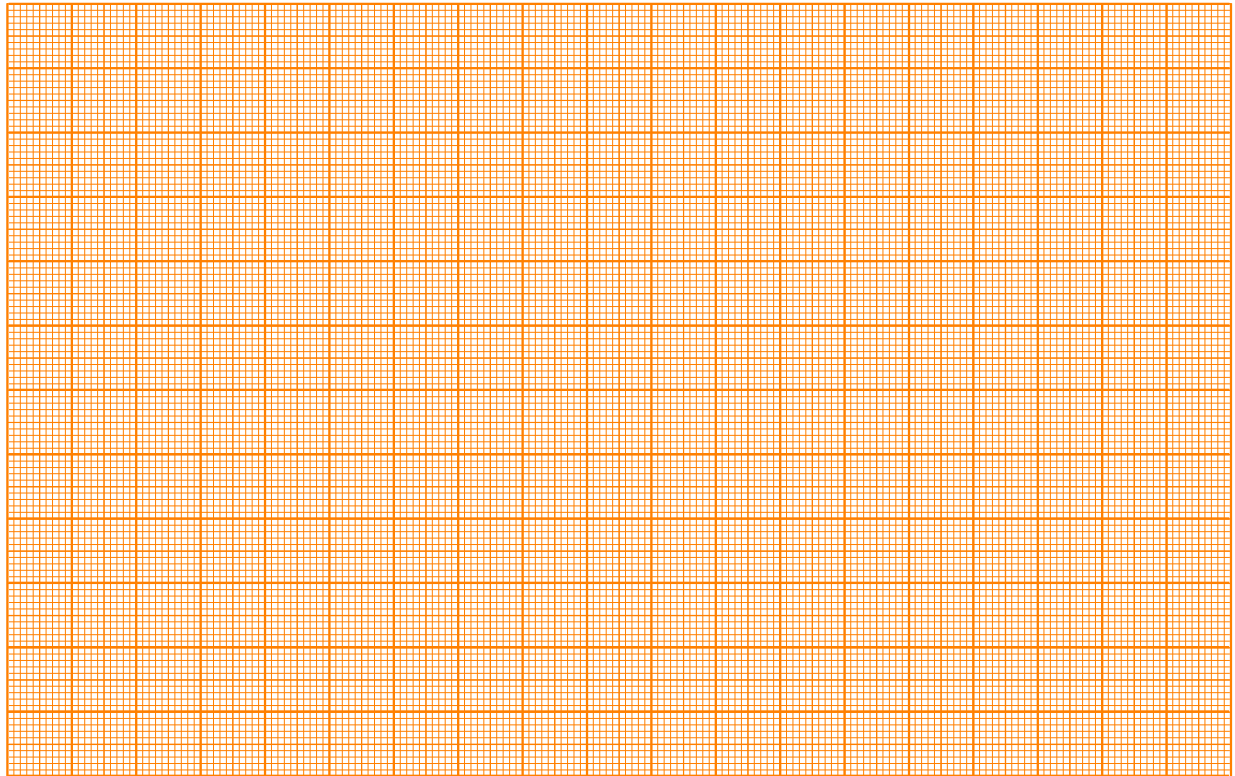
B.3 (3.0 pt)

$$H_0 =$$

$$\Delta H_0 =$$



B.3 (cont.)



B.4 (0.5 pt)

$$\mu =$$

$$\Delta\mu =$$

$$p_0 =$$

$$\Delta p_0 =$$



パート C. 惑星の1日

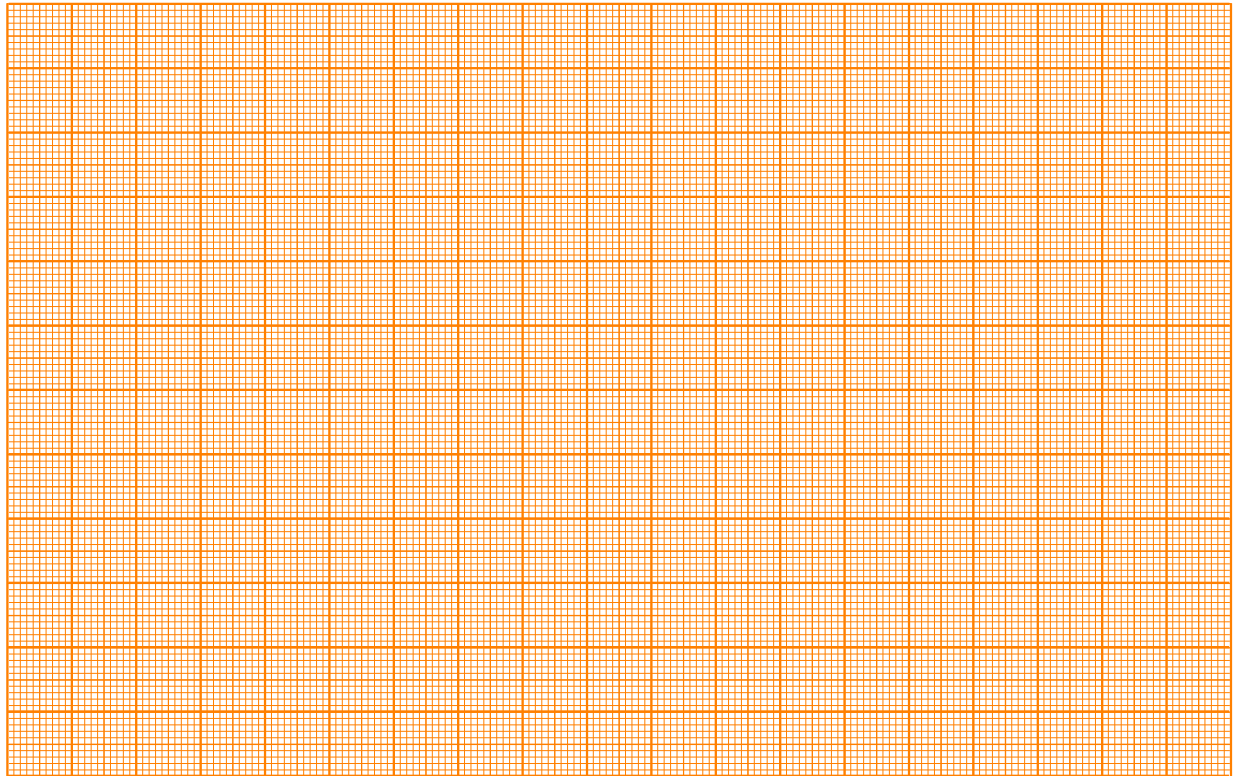
C.1 (2.5 pt)

$$T_p =$$

$$\Delta T_p =$$

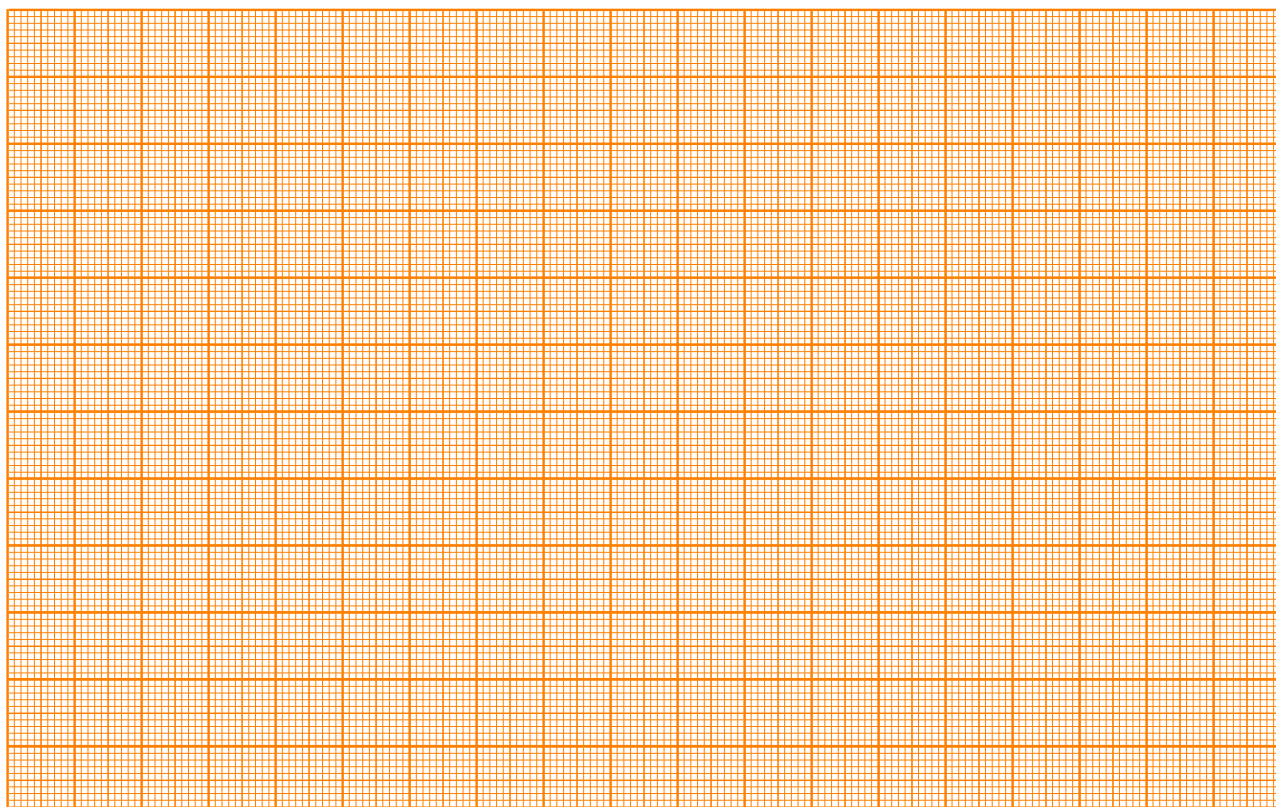
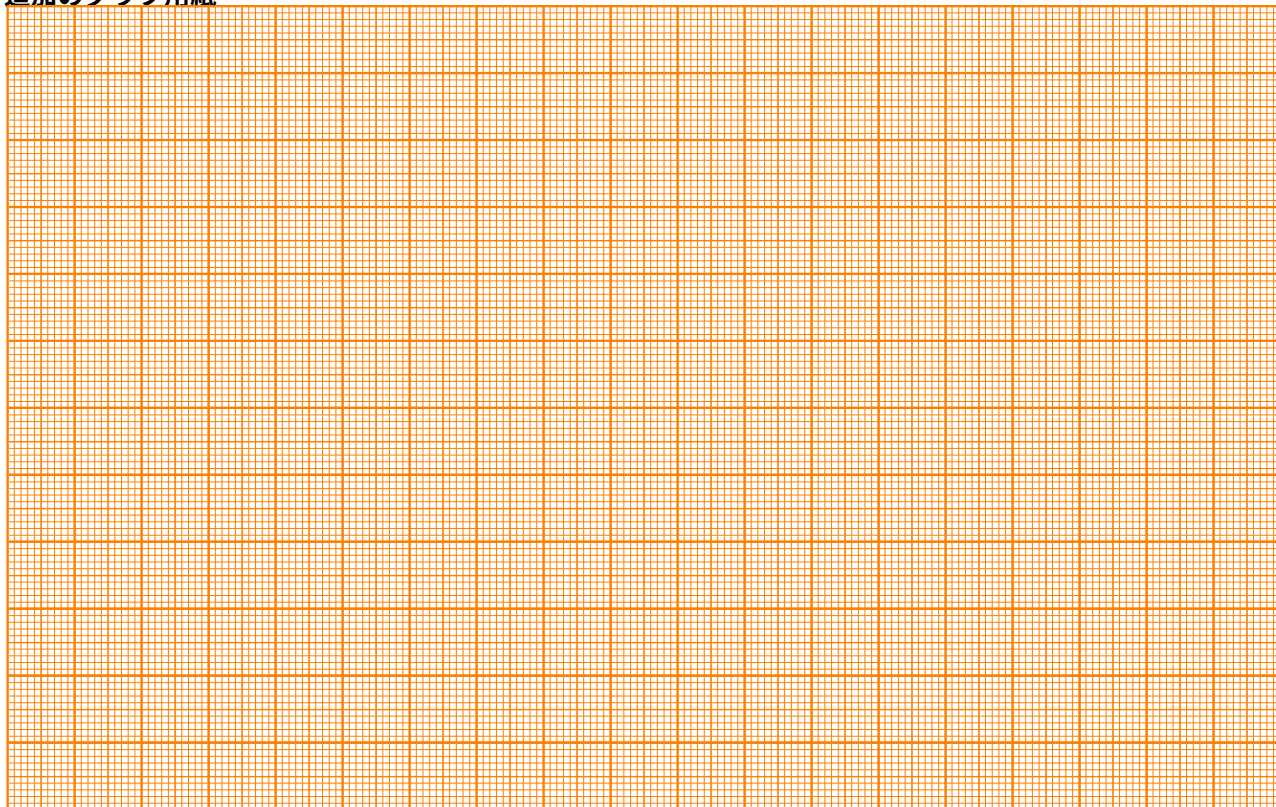


C.1 (cont.)





追加のグラフ用紙



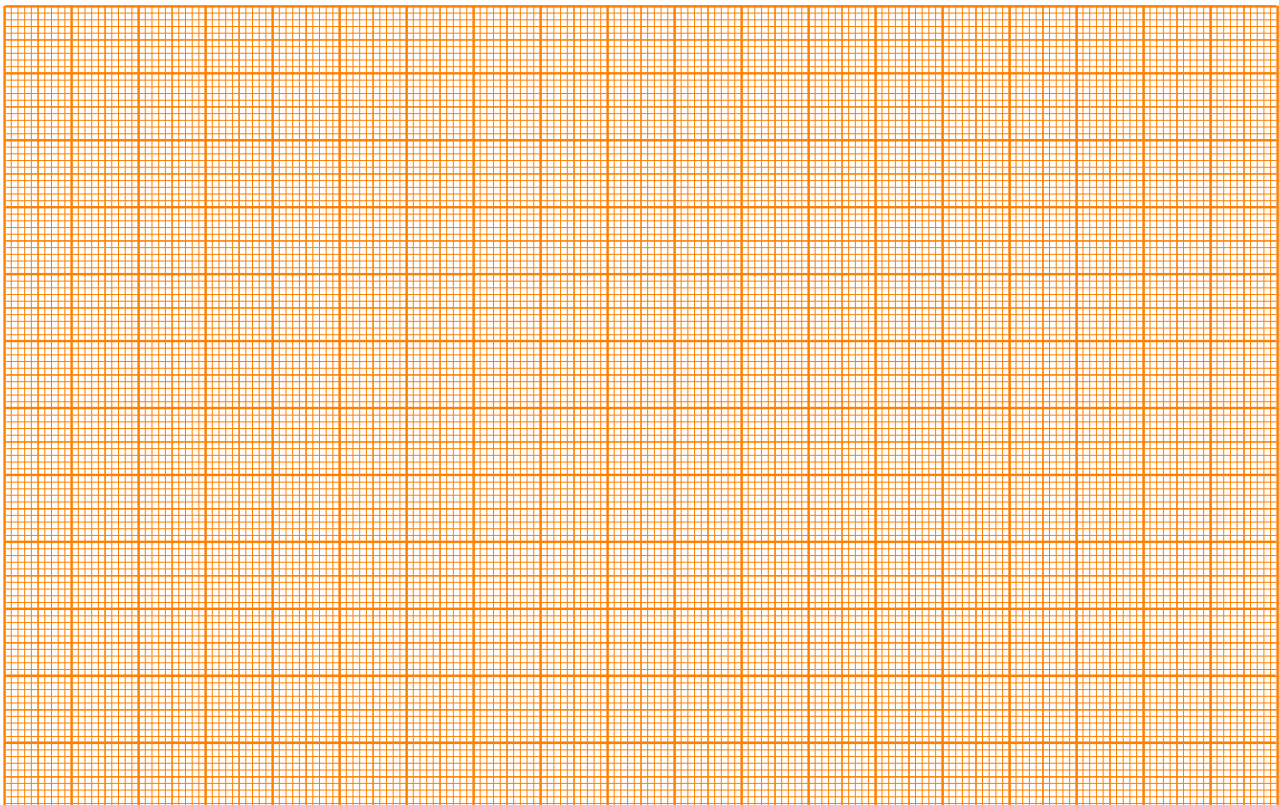
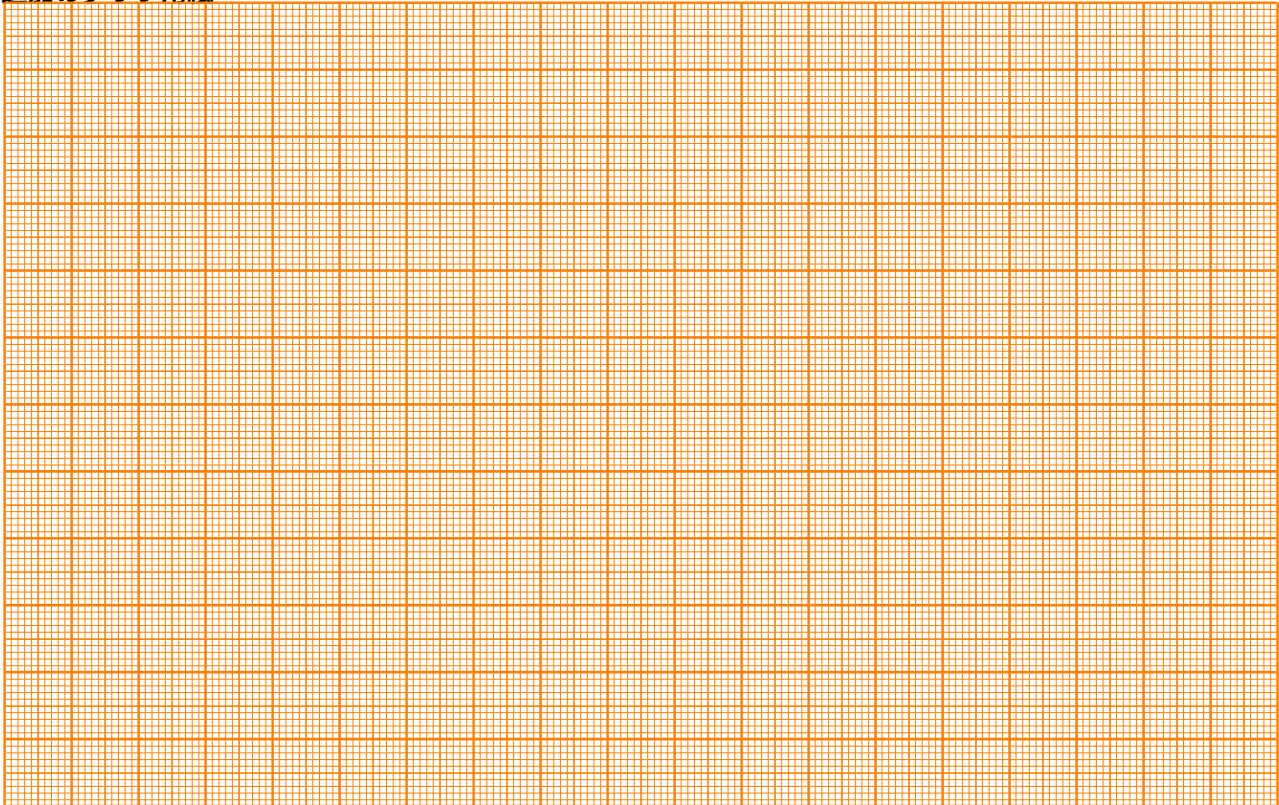
Experiment



A1-12

Japanese (Japan)

追加のグラフ用紙



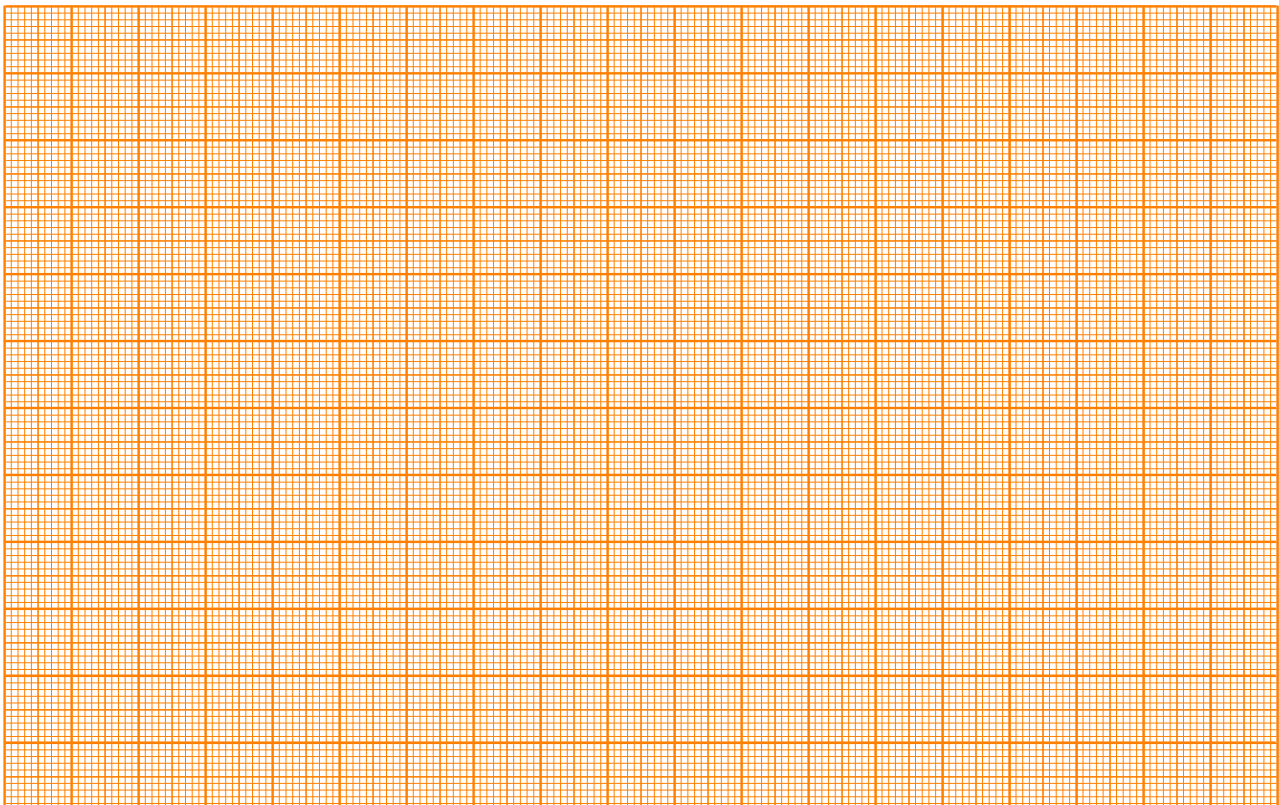
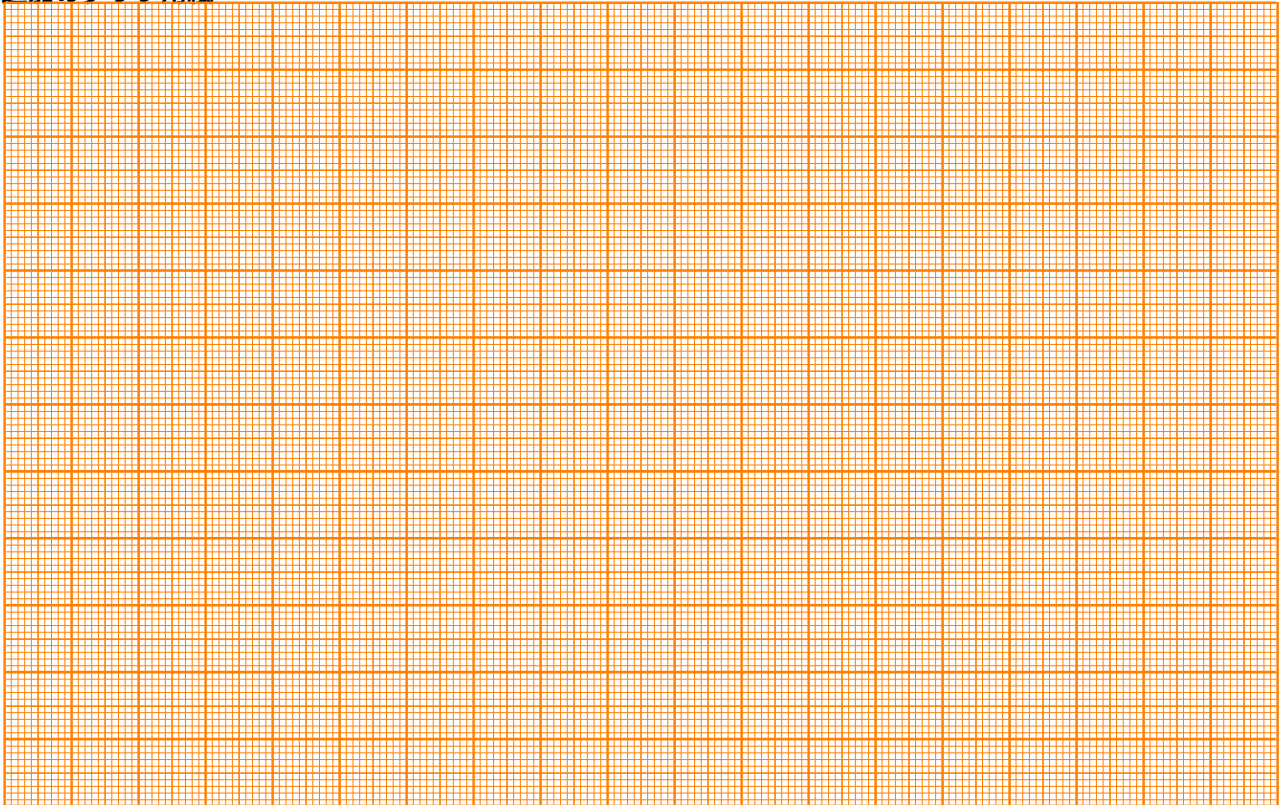
Experiment



A1-13

Japanese (Japan)

追加のグラフ用紙



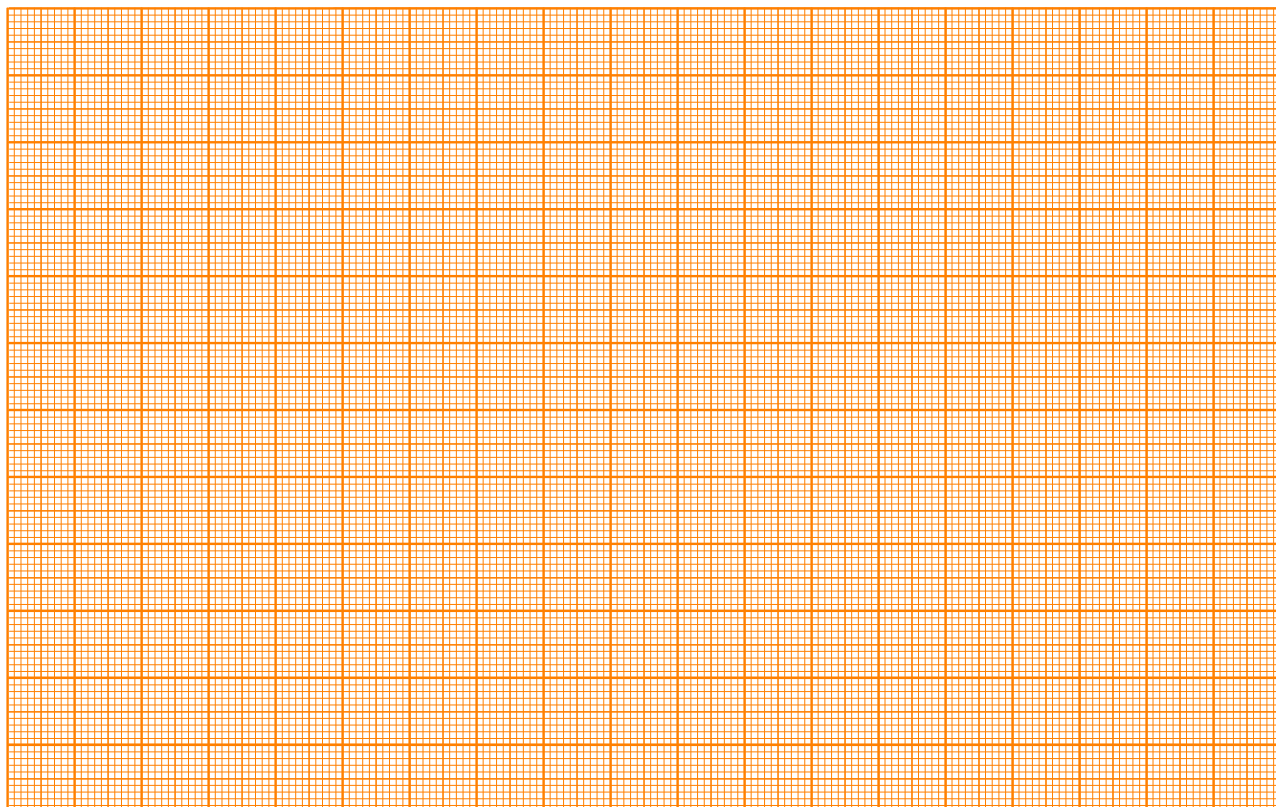
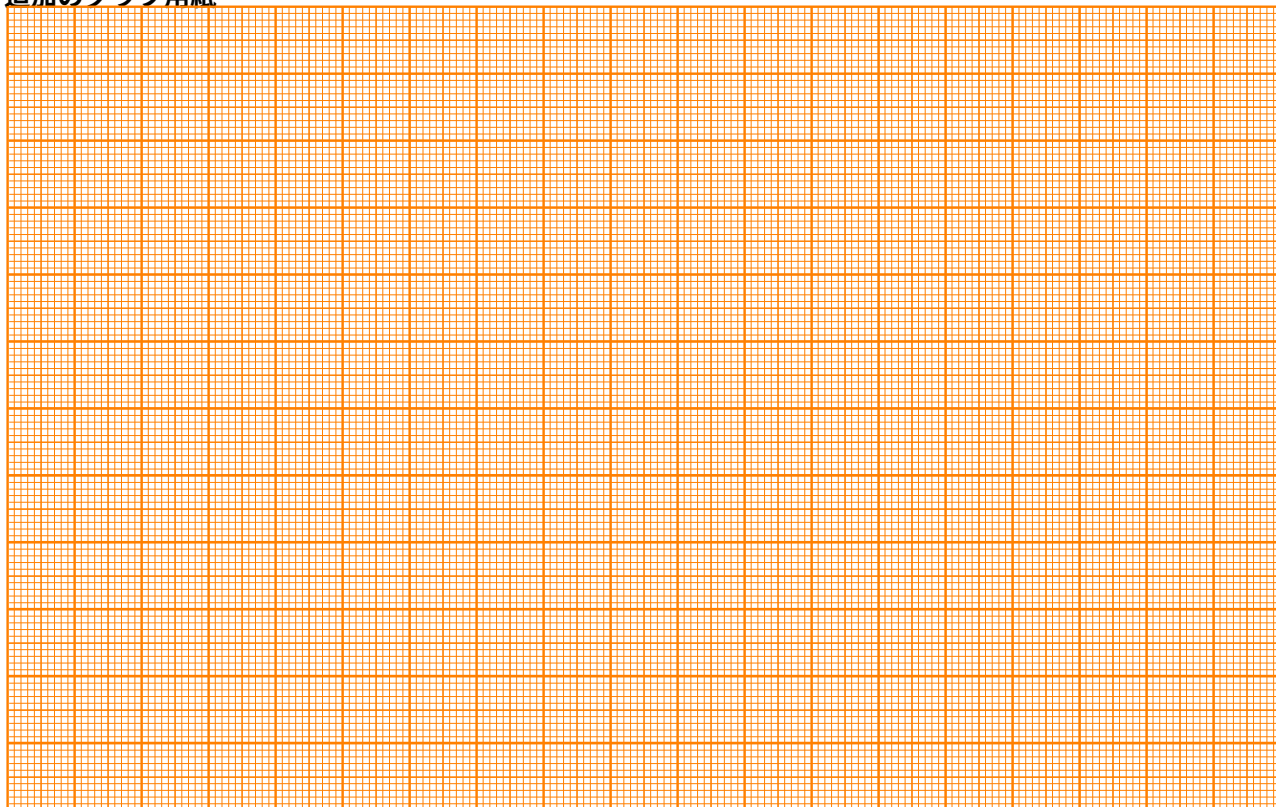
Experiment



A1-14

Japanese (Japan)

追加のグラフ用紙



Experiment



A1-15

Japanese (Japan)
